

冬季의 热收支와 黃海冷水와의 關係

韓 英 鎬^{*} · 張 善 德^{*}

Relation between the Heat Budget and the Cold Water
in the Yellow Sea in Winter.

Young Ho HAN · Sun-duck CHANG

Abstract

To study the fluctuation of the cold water in the East China Sea in summer heat budget of the Yellow Sea in winter was analysed based on the oceanographic and meteorological data compiled from 1961 to 1974.

The minimum value of insolation was observed in December (160~190 ly/day), while the maximum in February (250~260 ly/day). The range of the annual variation was found to be less than 50 ly/day. The value of the radiation term ($Q_s - Q_r - Q_b$) was remarkably small (mean 20 ly/day) in winter. It was negative value in December and January, and a positive value in February.

The minimum total heat exchange from the sea (Q_{h+c}) was found value (471 ly/day) in February 1962, and the maximum (882 ly/day) in January 1963.

The annual total heat exchange was minimum (588 ly/day) in 1962, and maximum (716 ly/day) in 1968.

If the average deviation of mean water temperature at 50m depth layer were assumed to be the horizontal index (C_h) of cold water, C_h is

$$C_h = \frac{\sum_i A_i T_i}{\sum_i A_i}$$

where A_i denotes the area of isothermal region and T_i the value of deviation from mean sea water temperature. The vertical index (C_v) of cold water can be expressed similarly.

Consequently the total index (C) of cold water equals to the sum of the two components, i.e. $C = C_h + C_v$.

Taking the deviation of mean sea surface temperature ($T'w$) in the third ten-day of Novembers in the Yellow Sea as the value of the initial condition, the following expressions are deduced:

$$\begin{aligned} C - T'w &= 32.06 - 0.049 Q_T \\ C_h - T'w/2 &= 12.20 - 0.019 Q_T \\ C_v - T'w/2 &= 18.07 - 0.027 Q_T \end{aligned}$$

where Q_T denotes the total heat exchange of the sea. The correlation coefficients of these regression

* 釜山水產大學, National Fisheries University of Busan.

이 論文은 1977年度 釜山水產大學에 이학박사 학위 청구 논문임.

equations were found to be greater than 0.9.

Heat budget was 588 ly/day in winter, and minimum water temperature of cold water was 18°C in summer of 1962. The isotherm of 23°C extended narrowly to southward up to 29°N in summer. However, heat budget was 716 ly/day, and minimum water temperature of cold water was 12°C in summer of 1963. The isotherm of 23°C extended widely to southward up to $28^{\circ}30'\text{N}$ in summer.

As a result of the present study, it may be concluded that the fluctuation of cold water of the East China Sea in summer can be predicted by the calculation of heat budget of the Yellow Sea in winter.

序 論

冬季의 寒冷乾燥한 서베리아 氣團은 比較的 溫暖한 黃海를 지나며, 海面으로 부터 大氣中으로 顯熱과 水蒸氣를 供給함에 頓다.

이 結果 寒冷乾燥한 서베리아 氣團과 下層部는 不安定하고 濕度도 높아진다. 단연 海洋에서의 放熱로 인하여 水溫이 침입 下降하여 12月 이후에는 10여 일에 따른 水溫이 上下 같은 構造로 바뀌고 冷水塊의 特性을 明ら게 된다.

이 冷水塊는 冬季에 大氣와 海洋間의 热交換量에 따라서 그 性質이 決定되기 때문에 冬季의 黃海에서의 热收支는 海洋學의 重要한 意味가 있다.

大氣와 海洋間의 热交換에 關する 理論의 研究는 McEwen(1937), Sverdrup(1937, 1940, 1951)에 의하여 試圖되었고, 1940 Jacobs(1942, 1951), Laevastu(1950), Hishida(1960), Hishida and Nishiyama(1972), Kondo(1972) 등에 의하여 海洋에서의 顯熱放出量과 蒸發量을 算出하기 위한 推定式이 發表되었다. 此外 1940에 Paulson, Leavitt and Fleagle(1972), Hill(1972), Steigen(1972), Kaiser and William(1974), Ling and Kao(1976) 등이 全體 海洋에서의 觀測과 모의 實驗을 通하여 海洋에서의 蒸發量과 顯熱放出量에 關한 研究를 하였다.

Wyrtki(1966)는 热收支方程式을 用하여 北支太平洋周界의 月別 热收支를 計算 하였던 著者는 Masuzawa(1951), Manabe(1957, 1958), Ninomiya(1964), Fujita and Honda(1965), Matsumoto and Ninomiya(1966), Matsumoto(1967), Kondo(1964, 1969), Harami(1974) 등은 日本周邊海域 특히 日本海에서 bulk method에 의하여 蒸發量과 顯熱放出量을

調查하여 주로 氣團變質에 關한 研究를 하였다.

또한 Ninomiya(1968, 1972)는 高層氣象觀測資料를 이용하여 海洋에서의 蒸發量과 顯熱放出量을 산출하여 氣團變質과 日本氣候에 미치는 影響을 研究하였다. 또 Min(1974)도 같은 방법으로 黃海에서 2個月間의 热收支를 調查하였으나 이것도 氣團變質에 關한 研究였다. Laevastu(1960)와 Lee and Chang(1976)은 热收支와 水溫變動에 關한 研究를, Han(1970, 1972)은 海洋에서의 �热收支와 冷水의 消長에 關한 研究를 하였다.

그러나 黃海 全海域에서 氣候學的인 bulk method에 의하여 顯熱量과 蒸發量을 算出하기에는 海洋 및 氣象資料가 부족하여 지금까지 調査 報告된 것은 단 1例일 것에 極端하다고 본다.

일반 水溫變動에 關하여는 Koizumi(1964), Asaoka and Moriyasu(1966), Moriyasu(1967, 1959, 1967, 1968), Sawara(1971) 등이 東支那海의 表面水溫變化에 關하여 討論하였고, Shell(1972)은 北西太平洋에서의 表面水溫의 變動에 關하여 研究하였다. 此外 清岸 冷水塊의 變動에 關한 研究는 Uda(1949), Fukuoka(1960) 등이 討論하였고, 黃海 冷水에 關하여는 Otsuka(1964), Kang(1974) 등에 의한 각 資料 計圖가 有 있다.

本 論文에서는 13年 동안(1961~1974年)의 冬季의 顯熱放出量과 蒸發熱量, 直射量과 海面輻射量을 算出하여 黃海에서의 热收支를 算出하였다. 即, 黃海 冷水를 調査하여 14年間 8月의 東支那海의 水溫分布圖를 作成하여 底層 黃海 冷水 指數를 구하였다.

이러한 資料를 綜合하여 冬季 黃海에서의 热收支와 夏季 東支那海의 黃海 冷水와의 關係를 調査하여 黃海 冷水의 沿長을 計測하는 方法을 마련하여 보았다.

資料 및 方法

1. 热收支 方程式

기술된 黄海에서의 热收支의 總量은 Q_T 라 하면

$$Q_T = Q_s - Q_b - Q_r - Q_h - Q_e \dots \dots \dots (1)$$

로 表現할 수 있다. 여기서 Q_s 는 日射量, Q_r 은 日射量의 海面 反射量, Q_b 는 海面輻射量, Q_h 는 頸熱放出去量, Q_e 는 蒸發熱量이다.

(1)식 중에 Q_s 는 우리나라 부근의 氣象條件에 적합하게 만들어진 Han(1977)의 式

$$Q_s = 0.0124 H_a T_d (1 - 0.04 C^{1.3}) \dots \dots \dots (2)$$

을 사용하고, Q_b 는 Watanabe(1955)의 式

$$Q_b = 0.109 \times 10^{-7} (273.2 + t_w)^4 (0.50 - 0.04 \sqrt{v_a}) (1 - 0.0083 C) \dots \dots \dots (3)$$

Q_h 는 Laevastu(1960)의 式

$$Q_h = 0.15 Q_s - (0.01 Q_s)^2 \dots \dots \dots (4)$$

를 그려 사용하였다.

그리고 bulk method에 의하여 頸熱放出去量와 蒸發熱量을 구하는 데는 資料가 부족하여 Ninomiya (1968, 1972), Min(1974)에 의해서 시도되었던 方法을 사용하면 다음과 같은 式으로 表現된다.

$$Q_h + Q_e = \frac{1}{a_s} \left[\frac{1}{g} \int_{500mb}^{P_s} (C_p \frac{\partial}{\partial t} T + L \cdot \frac{\partial}{\partial t} q) dp + \frac{1}{g} \int_{500mb}^{P_s} Q_R^* dp - a_L (Q_L + LE_L) \right] \dots \dots \dots (5)$$

여기서 $\partial/\partial t T$ 는 individual temperature change, $\partial/\partial t q$ 는 individual moisture change이고, Q_R^* 는 純輻射冷却, C_p 는 定壓比熱, L 는 氣化熱, a_L 와 a_s 는 全地域에 대한 陸地와 海洋의 面積比이며, Q_L 와 LE_L 는 地面에서의 頸熱放出去量과 蒸發量이다.

2. 热收支計算

冬季 黄海에서 1961년부터 1974년까지 (1966년을 제외) 13년間의 热收支 計算에는 (1)式을 사용하였다. (1)式中 日射量은 Han(1977)의 式을 사용하였는데 이 式中の 云量은 Fig. 1에 서와 같이 1海域은 Peking, 2海域은 Shenyang, 3海域은 哈爾濱, 4海域은 Tsingtao, 5海域은 仁川, 6海域은 Shanghai, 7海域은 木浦에서 觀測된 月平均値을 이용하였고, 낮의 開이와 太陽의 南北高度는 각海域 中心위치에서의 값을 使用하였다.

日射量의 海面反射量은 (4)式에 의하여 求하였고 海面長波輻射量은 (3)式에 의하여 計算하였는데,

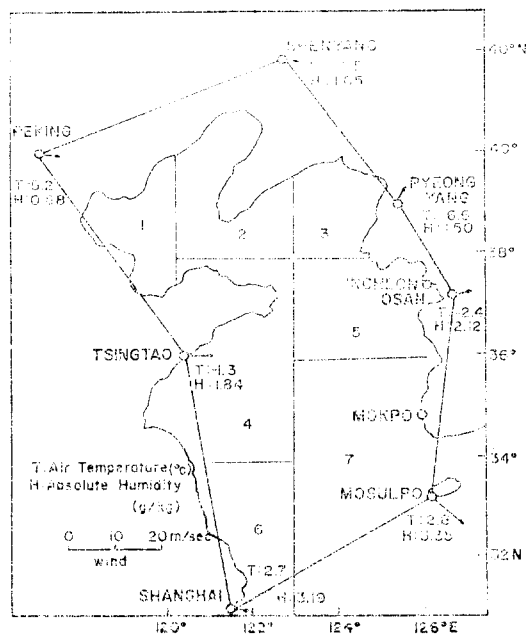


Fig. 1. The network of aerological stations used in the analysis. The heat budget calculations are made over the polygonal area in the Yellow Sea region. The distributions of the mean temperature, moisture and wind for January 1968.

(3)式中の 云量과 蒸氣壓은 7個 高層氣象觀測所의 平均値은, 水溫(T^*w)은 格列飛島, 紅島, 岩島, 於青島, 仁川에서의 觀測値을 平균하여 使用하였다.

頸熱放出去量와 蒸發熱量은 (5)式에 의하여 Fig. 1에 서와 같이 黄海를 관통하고 있는 韓國의 木浦, 烏山, 仁川과 中國의 Shenyang, Peking, Tsingtao, Shanghai과 연접하는 高層氣象觀測所를 选取하여 이 觀測所에서 每日 1200GMT에 觀測된 冬季(12月, 1月, 2月)의 地面, 850mb面, 700mb面, 500mb面의 氣溫, 露點溫度, 風向, 風速 資料의 月別 平均値을 사용하였다.

(6)式의 각 項을 計算하기 위하여 平均水平速度散(mean horizontal velocity divergence), 平均水平水蒸氣散散(mean horizontal moisture divergence)와 平均水平熱散散(mean horizontal heat flux divergence) 등을 Ninomiya(1976)의 表це 으로 다음과 같이 구하였다.

$$\nabla \cdot \bar{V} = \frac{1}{S} \oint V_n ds = \frac{1}{S} \sum_i V_{ni} \cdot I_i \dots \dots \dots (6)$$

$$\nabla \cdot \bar{V}q = \frac{1}{S} \oint V_n q ds = \frac{1}{S} \sum_i V_{ni} \cdot q_i \cdot L_i \dots \dots \dots (7)$$

$$\nabla \cdot VT = \frac{1}{S} \int V_n T ds = \frac{1}{S} \sum_i V_{ni} \cdot T_i \cdot L_i \dots (8)$$

여기서 S 는 설정된 관측地点으로, L_i 는 관測面積, i 는 관測所間의 邊의 數, L_i 는 관測所間의 거리, V_{ni} 는 관測所를 연결하는 直線에 沿する 方向의 平均 바람成分, q_i 와 T_i 는 관測所間의 q 와 T 의 平均值이다.

(5)식에서 陸地에서의 顯熱과 蒸發量은 Budyko(1958)가 推定한 Shanghai에서의 值 $E=1.2\text{mm/day}$ $Q_L=35\text{ ly/day}$ 를 이용하였고, 黃海上에서 공기의 辐射冷却率(Q_R^*/C_p)는 Katayama(1967)가 123°E 35°N 에서 구한 120 ly/day 을 이용하였다.

앞에서 설정된 관측所로 둘러싸여 있는 대상지역의 全面積은 table 1과 같고, 海洋面積은 全面積의 78%, 陸地는 22%이다.

Table 1. Dimensions of the Yellow Sea where the heat budget analysis is made.

Total area	Sea area (km ²)	Land area (km ²)
$75.62(100)^2$	$59.02(100)^2$	$16.60(100)^2$
78%	22%	

3. 黃海冷水의 滅長

夏季(8月) 東支那海에서의 水溫分布와 黃海冷水의 滅長을 조사하기 위하여 日本氣象廳發行 海洋氣象觀測資料中 1961年부터 1974년까지 14個年の 것을 使用하여, 東支那海域($28^\circ\text{N} \sim 32^\circ\text{N}$, $125^\circ\text{E} \sim 130^\circ\text{E}$)의 水準, 垂直水深分布圖를 작성하였다. 여기서 水平面에서는 緯度와 經度를 나간이 $30'$ 간격으로 基準點을 잡고 垂直斷面에서는 經度를 $30'$ 간격으로 하여 水深을 表而 10m, 20m, 30m, 50m, 75m, 100m, 150m, 200m으로 잡아 32°N 선의 垂直斷面과 50m層의 水平面의 각 基準點에 14年間 平均水溫分布圖를 작성하였다. 그 平均値에 대한 평균 半年値差를 算출하여 分布圖를 작성하고, 半年面積당 積算溫度($\sum_i A_i T_i / \sum_i A_i = C$)를 구하여 冷水指數라 하였다.

4. 熱收支와 冷水 滅長과의 關係

冷水指數와 熱收支와의 關係를 조사하기 위하여 初期條件인 黃海에서의 11月 下旬의 水溫은 海洋調查年報(1960~1973)에서 취하였고, 비교 점토를 위한 氣象資料는 氣象月報과 氣象年報의 資料를 使用

하였다. 冷水指數와 水溫(11月 下旬)과 熱收支와의 相關關係式은 最少自乘法에 의하여 分析하였다.

結果 및 考察

1. 冬季의 熱收支

기술된 黃海에서 13年間의 日射量, 海面反射量 및 海面輻射量을 計算한 結果는 Fig. 2. 와 같다.

日射量은 기술된 3개月中 12月이 가장 多았으며, 1, 2月로 갈수록 增加하였다. 이것은 12月이 낮의 길이가 가장 長고, 太陽의 高度가 낮기 때문인 것으로 해석된다. 이期間中 2月은 最低가 157 ly/day(1966)이며, 最高는 189 ly/day(1973)이다.

1月은 最低가 167 ly/day(1969), 最高는 220 ly/day(1974)이며, 2月은 最低가 219 ly/day(1969), 最高는 276 ly/day(1963)이다.

겨울철 月間 日射量의 각 年度別 差는 약 50 ly/day 以下인 것으로 나타났다. 이것은 겨울철에는 量의 年別變化가 작은 것을 의미한다.

日射量의 海面反射量과 日射量의 약 15%정도이 20~25年別變化量은 10 ly/day 以下로 나타났다. 日射量에서 海面反射量을 빼 有効 日射量(Q_{s-r})의 年別變化量은 日射量의 变化量보다 약간 작은 値을 나타낸다.

海面反射의 長波輻射量은 有効 日射量 보다 12月에 10~30 ly/day정도 크게 나타났다.

즉, 겨울철 중에 12月와 1月에는 海面輻射量이 日射量보다 다소 크게 나타나고, 2月 무렵은 日射量의增加로 因하여 다소 크게 나타났다.

기술점에는 日射量에서 海面反射量과 海面輻射量을 빼 有効 (Q_{s-r-b})과 20年別變化量이 異여서 水溫과 水溫年別變化量에 미치는 影響이 매우 작다고 생각된다.

黃海 주변 7개의 高層 氣象觀測所의 1200GMT 資料를 使用하여 13年間 黃海에서의 顯熱放出量과 蒸發熱量을 計算한 것은 Table 2. 와 같다.

顯熱放出量과 蒸發熱量을 합한 値(Q_{h+e})은 (5)식에 의하여 算出하였다. 이 기간동안 最高는 882 ly/day(1963年1月)이고, 最低는 471 ly/day(1961年2月)이다. 月別로 1月과 12月이 2月보다 比較的 큰 値을 나타내는 바 이것은 2月이 가장 水溫이 낮아 氣溫과 水溫의 差가 작기 때문인 것으로 해석된다.

12月은 最高가 776 ly/day(1967)이고 最低가 542

冬季의 热收支와 黄海冷水와의 關係

Table 2. The heat budget in ly/day of the Yellow Sea in winter, 1961–1974.

	Q_s	Q_r	Q_b	Q_{h+e}	Q_T	Mean
1960 Dec.	170.8	22.7	203	701	756	
61 Jan.	187.2	24.6	197	606	641	
61 Feb.	257.7	32.0	193	471	438	612
1961 Dec.	176.7	23.4	208	610	664	
62 Jan.	196.1	25.6	204	658	692	
62 Feb.	257.6	32.0	193	477	444	588
1962 Dec.	183.7	24.2	210	542	592	
63 Jan.	205.6	26.6	252	882	918	
63 Feb.	275.7	33.8	215	519	546	685
1963 Dec.	169.7	22.6	180	603	636	
64 Jan.	175.7	23.3	182	543	572	
64 Feb.	222.9	28.5	177	621	604	604
1964 Dec.	178.1	23.5	210	686	752	
65 Jan.	194.1	25.4	210	705	746	
65 Feb.	254.4	31.7	196	642	620	706
1966 Dec.	157.4	21.1	205	724	793	
67 Jan.	202.6	26.3	222	660	705	
67 Feb.	258.5	32.1	207	562	542	680
1967 Dec.	179.3	23.7	236	776	857	
68 Jan.	191.3	25.0	212	612	658	
68 Feb.	259.3	32.2	189	672	634	716
1968 Dec.	147.1	19.9	159	599	631	
69 Jan.	166.9	22.3	172	645	672	
69 Feb.	218.6	28.0	163	606	578	627
1969 Dec.	173.4	23.2	207	688	743	
70 Jan.	195.7	25.5	212	724	766	
70 Feb.	247.6	31.0	182	641	676	705
1970 Dec.	182.5	24.0	215	628	684	
71 Jan.	195.7	25.5	221	724	766	
71 Feb.	252.2	32.0	192	612	579	655
1971 Dec.	182.7	24.1	229	651	721	
72 Jan.	181.0	23.9	176	699	718	
72 Feb.	237.1	29.9	185	668	646	696
1972 Dec.	177.9	23.5	209	645	700	
73 Jan.	191.7	25.1	201	691	725	
73 Feb.	255.0	31.8	201	638	616	680
1973 Dec.	189.3	24.8	238	582	656	
74 Jan.	219.9	28.2	231	681	720	
74 Feb.	260.7	32.3	199	567	537	638

Table 3. The monthly mean air temperature and deviation of the meteorological station
(Mokpo, Incheon and Cheonju).

Month	1960	1961	1962	1963	1964	1965	1966	1967	1968	1969	1970	1971	1972	1973	1974	Mean
Dec.	T	1.2	2.3	3.7	3.5	2.8	1.1	-0.2	-1.7	5.4	0.8	1.5	1.4	2.2	-0.1	1.7
	σ	-0.5	0.6	2.0	1.3	1.1	-0.6	-1.9	-3.4	3.7	-0.9	-0.2	-0.3	0.5	-1.8	
Jan.	T		-2.0	-0.9	-4.8	1.6	-1.5	-1.5	-2.1	-1.2	-1.2	-2.3	-0.8	2.5	1.7	-0.8
	σ		-1.0	0.1	-3.8	2.6	-0.5	-0.5	-1.1	-0.2	-0.2	-1.3	0.2	3.5	2.7	0.2
Feb.	T			0.9	1.5	-1.0	-1.2	0.4	1.8	-0.5	-2.7	-0.2	1.5	0.6	1.9	-0.2
	σ			0.7	1.3	-1.2	-1.4	0.2	1.6	-0.7	-2.9	-0.4	1.3	0.4	1.7	-0.4

T : Temperature ($^{\circ}\text{C}$) σ : Deviation

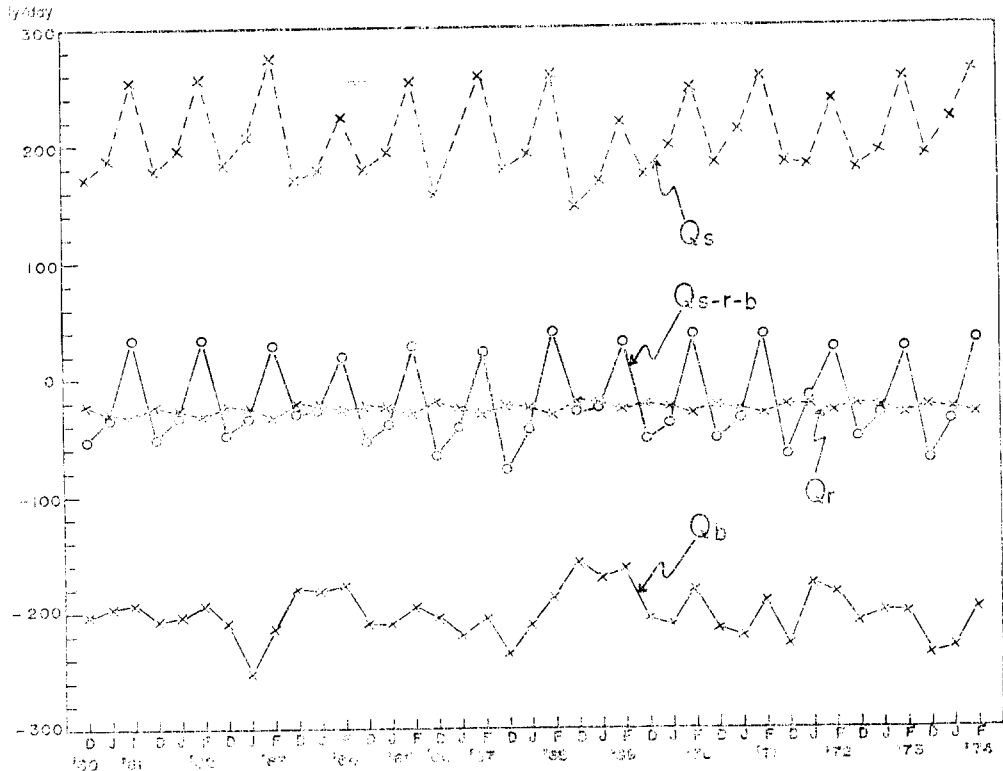


Fig. 2. The variations of the insolation (Q_s), reflection back radiation (Q_r) and effective back radiation (Q_b) in the Yellow Sea in winter, 1961–1974.

ly/day(1962)이다. 그런데 우리 나라 西海岸 地方의 12月 平均氣溫은(Table 3.) 1963年에는 -0.2°C 였고, 1962年에는 3.7°C 였다. 따라서 氣溫의 变化에 順應放出量과 蒸發熱量을 合한 값이 크게 变化되었다. 1月의 順應放出量과 蒸發熱量을 合한 값은 最高가 1963年(882 ly/day , -1.8°C)이고, 最低는 1964年(543 ly/day , 1.6°C)으로 나타났다. 2月中에는 最高가 1968年(672 ly/day , -2.7°C)이고, 最低는 1961年(471 ly/day , 0.9°C)으로 나타났다. 즉 1月와 2月에도 12月의 경우와 같이 비교적 氣溫이 낮은 때 順應放出量과 蒸發熱量의 값이 크게 나타났다. 이것은 水溫과 氣溫의 差가 클수록 热交換이 잘 되는 것으로 해석되나 水溫도 热交換의 一要因이 되므로 水溫만으로는 그 增減을 정확히 알 수 없는 것이다.

(2)식에 의한 계산결과 黄海에서의 热交換량은 Table 2.와 같다. 계산한 黄海에서 얻어낸總熱量을 月別로 区分하여 보면 最高가 1963年1月(918 ly/day), 그 다음이 1967年12月(857 ly/day)이고, 最低가 1961年2月(438 ly/day)과 1962年2月(441 ly/day)이다. 이것은 1月에 氣溫이 가장 낮고 溫度도 낮아 海面에서 供給되는 熱量이 가장 높기 때문이다. 2月에는 1

月보다 比較的 氣溫은 높고 水溫은 낮기 때문에 結果적으로 水溫과 氣溫의 差가 작고 또 日射量에서 海面反射量과 海面輻射量을 빼면 값도 (+)로 나타나기 때문이다.

겨울철의 平均熱收支은 1962年이 588 ly/day 로 가장 적으나 1968年이 716 ly/day 로 가장 많다. 이것은 氣溫偏差가 1961年 12月에는 0.6°C , 1962年 1月에는 0.1°C , 1968年 2月에는 1.5°C 로 年年보다 氣溫이 높아 海面에서의 热損失이 적었던 것으로 해석되며, 1967年 12月에는 -3.4°C , 1968年 1月에는 -0.2°C , 1962年 2月에는 -2.9°C 로서 年年보다 이 세 氣溫이 낮아 海面에서의 热損失이 많았던 것으로 해석된다.

이런것을 고려하면, 比較的 추운 겨울에는 黄海에서의 热損失量이 많고 더운 겨울에는 热損失量이 적다고 볼 수 있다. 그러나 다른 要素 즉 水溫, 氣溫, 風速 등에 따라 달라질 수도 있다.

2. 黄海 冷水의 漸長

東支那海까지 전출하는 冷水의 性質을 알아보기 위하여 黄海 및 東支那海의 潤潤點 A, B, C, D, E, F,

冬季의 热收支와 黄海冷水와의 關係

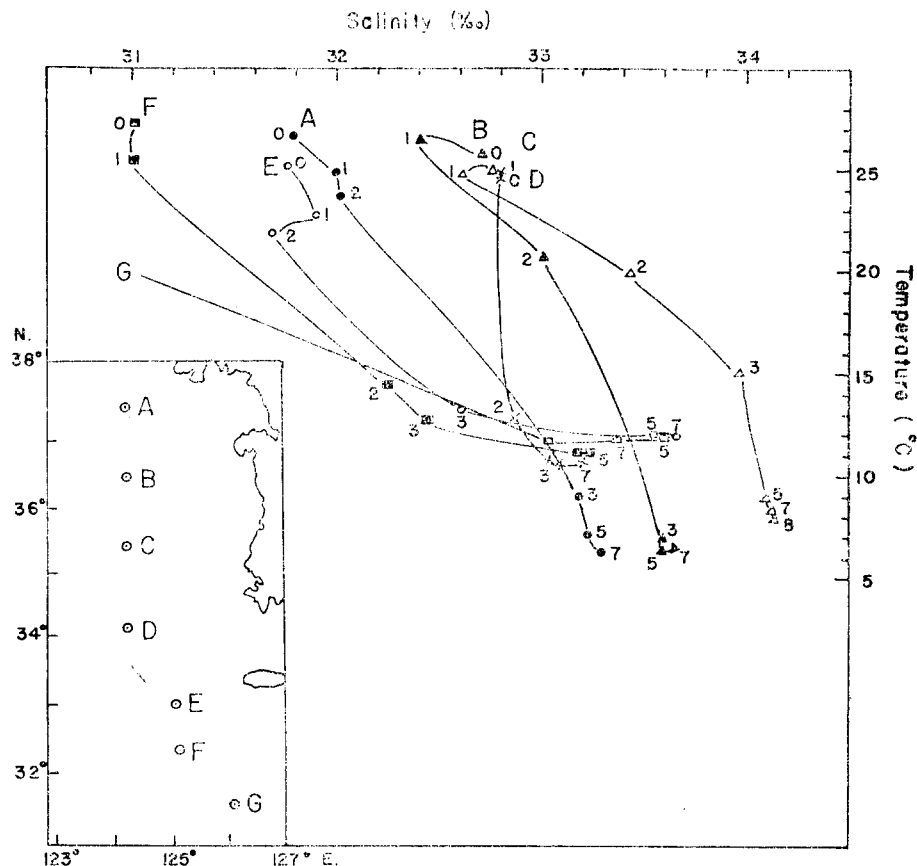


Fig. 3. $T-S$ diagram in the Yellow Sea in August, 1971.

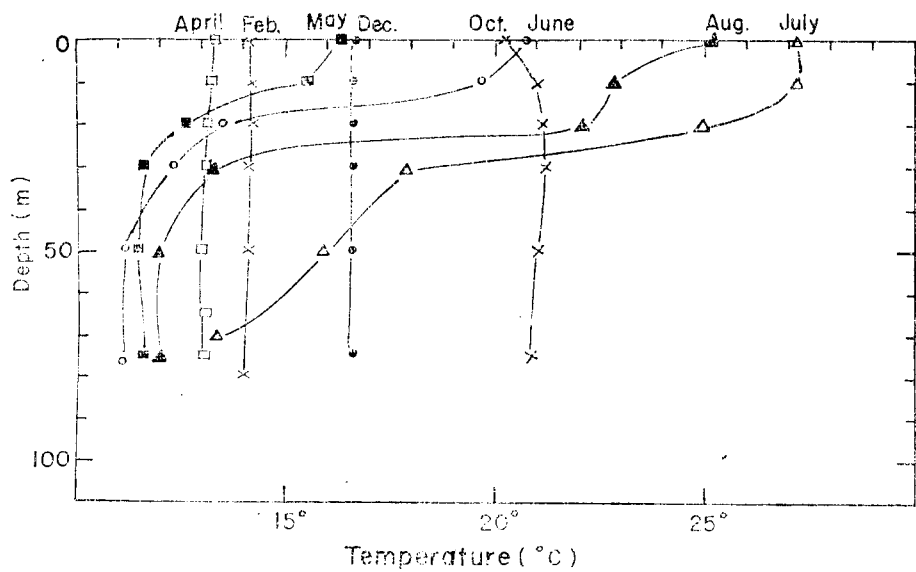


Fig. 4. Monthly variation of vertical water temperature profiles at the station F in 1971.

G에 서의 1971年 8月의 T-S曲線圖을 作成하였다 (Fig. 3). 이것에서 表層水의 性質이 여러 가지로 分類되어거나 30m以深에서는 水溫이 6.4~13.2°C, 鹿分이 33.17%以上으로서 나같이 低溫의 性質을 띠고 있다. 이것은 東支那海에 진출한 冷水도 黃海冷水의 一部임을 의미한다고 볼 수 있다. 또한 冷水의 季節別 水溫變化와 垂直 水溫變化를 調査하기 위하여 1971年 F点의 水深에 따른 水溫變化를 月別로 나타낸 것이 Fig. 4와 같다.

2月과 4月에는 表層에서 底層까지 거의 같은 水溫 (13.0°~14.2°C)이 나타났고 5月과 6月에도 30m以深에서는 2, 4月과 거의 같은 水溫分布를 나타냈다. 그러나 7月에는 30m以深에서 6月보다 약간 높은 水溫을 나타냈으며 8月에는 30m以深에서 7月보다 水溫이 다소 낮아져서 5, 6月과 거의 같은 distribution를 보았다.

이러한 理象은 4月까지는 海面에서의 熱損失에 의한 水溫下降現象이 일어나고, 5月부터 8月까지는 受熱量이 많아서 表層에서 底層까지 水溫上昇現象이 일어나며 더우기 Tsushima暖流 영향을 많이 받아 생기는 것으로 해석된다. 그러나 8月이 7月보다 30m以深에서 더 低溫現象을 나타내는 것은 黃海로부터 冷水가 流入되기 때문인 것으로 해석된다. 이것으로 보아 東支那海에서的 黃海冷水의 영향이 8月頃에 가장 強하게 나타나는 것으로 해석된다.

여름철에 東支那海까지 진출한 黃海冷水를 調査하기 위하여 1961年부터 1974年까지 14年間의 水溫平均值를 사용하여 50m層의 平均 水溫分布圖와 32°N에서의 平均 垂直分布圖를 作成하였다.

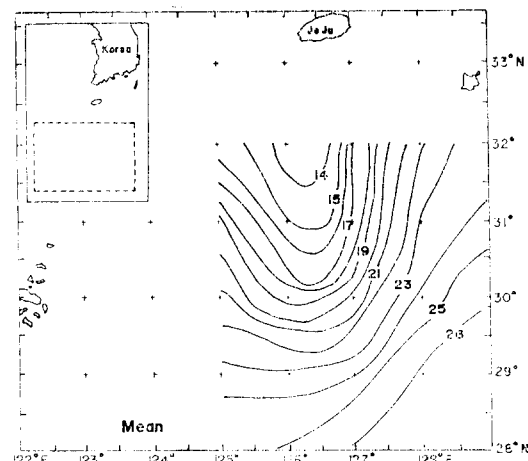


Fig. 5. The distribution of mean water temperature at the depth of 50m in August, 1961—1974.

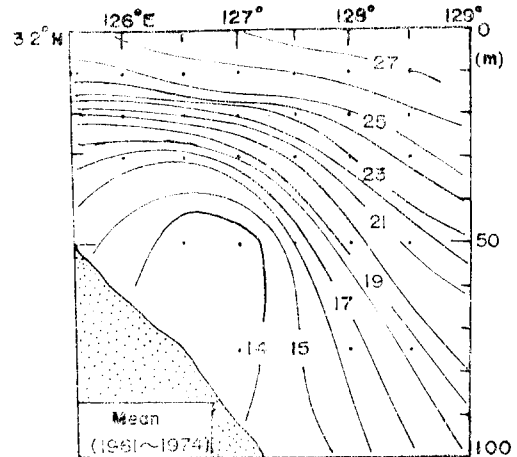


Fig. 6. Mean vertical water temperature along the latitude of 32°N in August, 1961—1974.

(Fig. 5, Fig. 6). 平均水溫分布는 最低가 14°C以下の 冷水가 32°N, 126°E 부근海域으로 부터 最高는 약 23°~24°C로서 29°N域海까지 진출한 것으로 나타났다. 平均垂直分布는 最低가 14°C로서 126°~127°E의 50m以深에 넓은 빙위로 나타났다. 水溫躍層은 126°E 부근海域에서 20m内外에 나타났으나, 東쪽으로 갈수록 깊어져서 129°E에서는 거의存在하지 않는다. 이와같은 50m以深에서의 低溫現象은 黃海冷水의 영향으로 나타나는 것이며, 東쪽으로 갈수록 賽層의 깊이가 깊어지는 것은 Tsushima暖流 영향인 것으로 해석된다.

또 東支那海에 진출한 黃海冷水의 劢力を 알아보기 위하여 50m層과 32°N의 垂直斷面에서 每年 8月의 14年平均値로 부터의 偏差값의 distribution를 作成하였다 (Fig. 7, 8). 50m層의 水平水溫偏差는 1962年에는 0°~6°C이고 대부분(+)로서 冷水勢力이 가장弱하게 나타났다. 1968年은 -3°~1°C이고 대부분이 (-)로서 冷水勢力이 가장세게 나타났다. 垂直偏差도 역시 1962年에는 대체로 크고 126°~127°E의 30~40m層에서 8°C로서 最大이었고, 10~50m層에서도 대부분(+)로 나타났다. 1968年에는 대체로 작고 20m以深에서 대부분이 (-)로 나타났다. 이것으로 미루어 보아 冷水의 劢力이 1962年에는 弱했고, 1968年에는 強했던 것으로 해석된다.

偏差의 distribution圖에서 冷水의 劢力を 指數로 表示하기 위하여 50m層의 水平偏差와 32°N, 20m以深의 垂直偏差의 單位面積當積算水溫平均을 冷水指數(index of cold water)라고, 이것을 1961年부

冬季의 热收支와 黄海冷水와의 關係

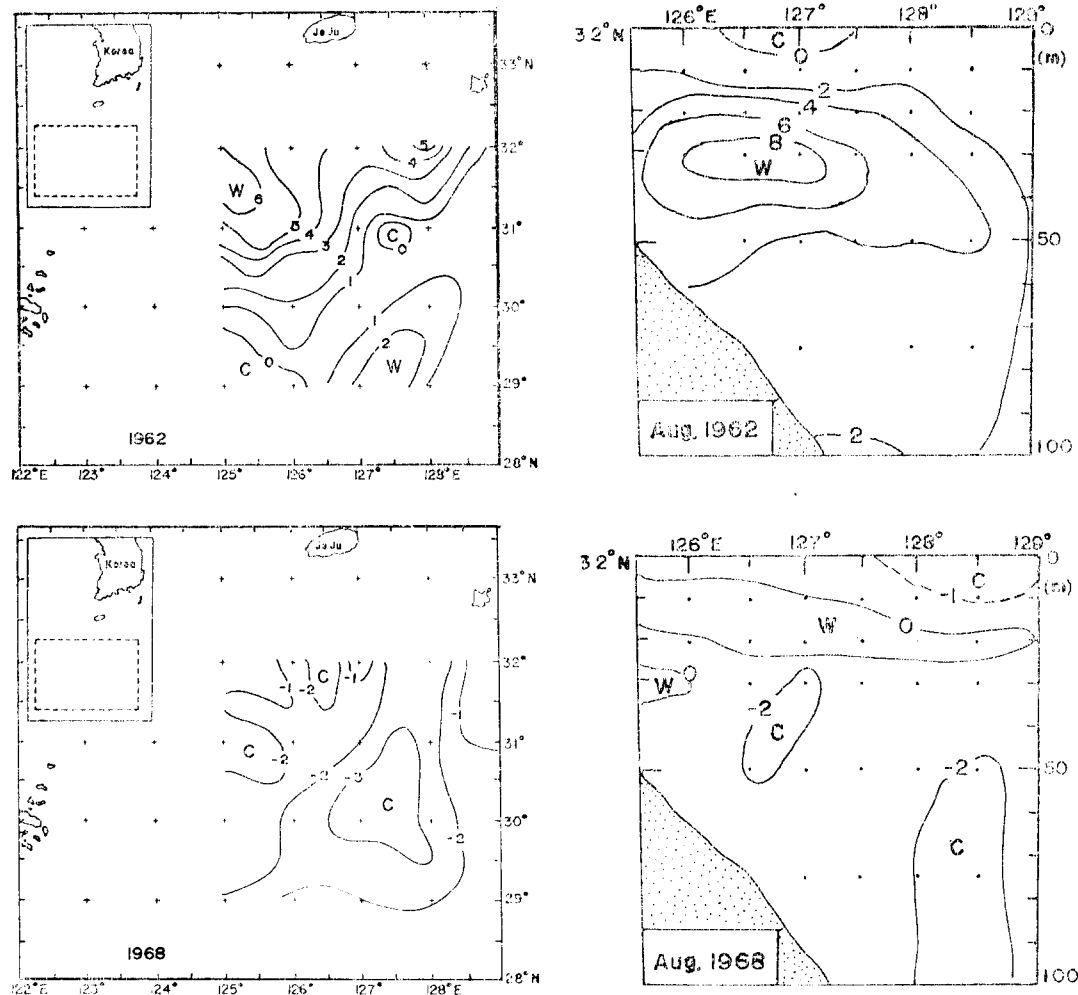


Fig. 7. The anomaly of water temperature ($^{\circ}\text{C}$) from mean water temperature at the depth of 50m layer in August.

Fig. 8. The anomaly of water temperature from mean water temperature along 32°N . in August.

Table 4. The index of cold water in August, 1961—1974.

Index	1961	1962	1963	1964	1965	1966	1967	1968	1969	1970	1971	1972	1973	1974
Horizontal index	1.48	1.86	-0.17	1.25	-1.19	0.86	-0.33	-1.91	-0.61	-1.08	-0.32	-0.42	-0.32	-0.18
Vertical index	2.20	3.18	-1.46	1.70	-0.90	2.44	-0.95	-1.30	/	-0.91	-0.59	-0.48	-0.71	-0.42
Total index	3.68	5.04	-1.63	2.95	-2.09	3.30	-1.28	-3.21	/	-1.99	-0.91	-0.90	-1.03	-0.60

터 1974년까지 14년間을 計算한 結果는 Table 4. 와 같다. 이 指數가 (+)이면 冷水의 势力이 平均勢力 (Fig. 5 및 6) 보다 弱한 것이고, (-)이면 平均勢力보다 強한 것을 의미한다. 1962년은 水平指數(C_h) 가 1.86, 垂直指數(C_v) 가 3.18로서 冷水指數(C)는 5.04이므로 冷水의 势力이 가장 弱했던 해이고, 1968년에는 水平指數가 -1.91, 垂直指數가 -1.30으로 冷水指數는 -3.21로서 冷水의 势力이 가장 強했던 해임을 의미한다.

그러면 冷水가 가장 強했던 1968년과 가장 弱했던

1962년을 水溫 分布圖로서 比較하여 보면 Fig. 9와 같다. 冷水의 势力이 弱었던 1962년에는 50m層에서 的 最低水偏이 18°C 인데 反하여, 強했던 1968년에는 12°C 로서 그前가 6°C 있고, 23°C 等溫線이 1962년에는 幅이 좁게 29°N 까지 밖에 미치지 않았으나 1968년에는 幅이 넓게 $28^{\circ}\text{--}30^{\circ}\text{N}$ 까지 擴張되었다. 垂直構造는 1968년에는 32°N , 120°E 에서 水溫躍層이 15m層에 強하게 나타났으나, 1962년에는 40m層에 弱하게 나타났다.

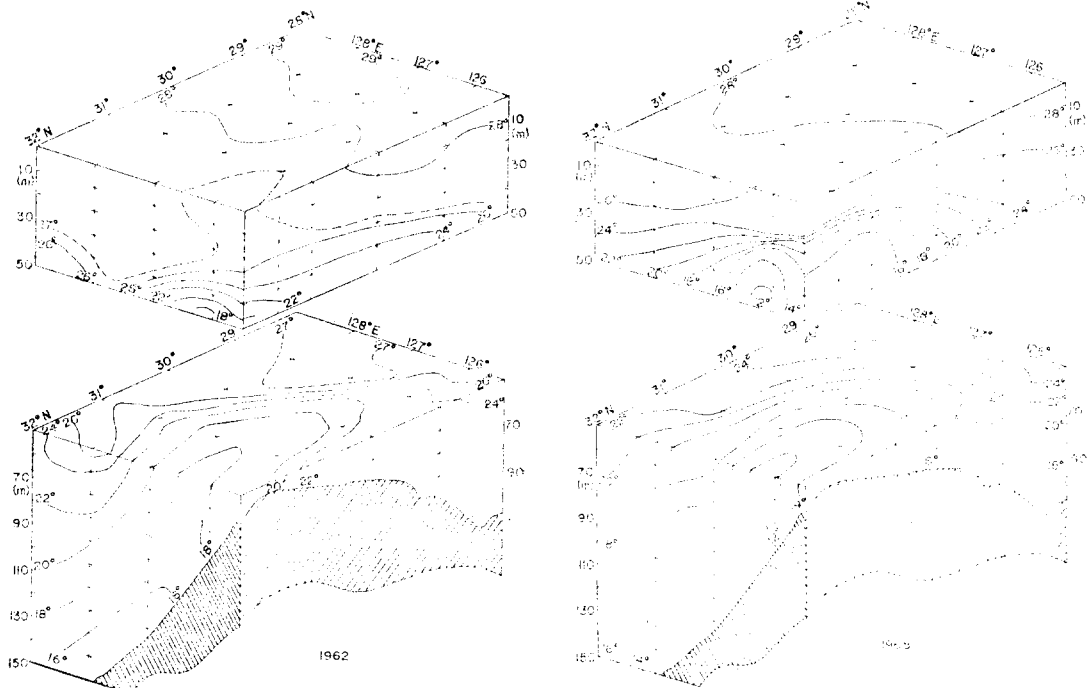


Fig. 9. 3-dimensional distribution of water temperature ($^{\circ}\text{C}$) in the East China Sea in August.

3. 冬季의 热收支와 冷水 消長과의 關係

앞에서 論議한 바와 같이 겨울에 黃海에서 形成된 冷水가 여름에 東支那海까지 진출하게 된다. 그리고 이 冷水의 消長은 热收支와 깊은 관련이 있다고 볼

수 있다. Table 2.는 12月에서 2月까지의 热收支를 計算한 것인데, 이것에서 热收支와 冷水消長과의 相關關係를 구하기 위하여, 黃海에 位置한 5개의 觀測點(缶島, 於青島, 格列飛島, 紅島, 竹島)의 水溫偏差를 初期條件으로 해서 冷水指數 C 에서 初期條件

Table 5. The surface water temperature ($^{\circ}\text{C}$) of the third ten-days of November in the Yellow Sea 1961-1974 (Chuk do, Hong do, Eochung do, Kyognyolbi do and Pu do).

Year	1961	1962	1963	1964	1965	1966	1967	1968	1969	1970	1971	1972	1973	1974
Water Temperature	14.5	14.9	12.8	13.9	13.8	12.3	12.8	13.2	13.1	13.2	11.1	13.8	12.5	12.0
Deviation	1.4	1.8	-0.3	0.8	0.7	-0.8	-0.3	0.1	0.0	0.1	-2.0	0.7	-0.6	-1.1

冬季의 热收支와 黄海冷水와의 關係

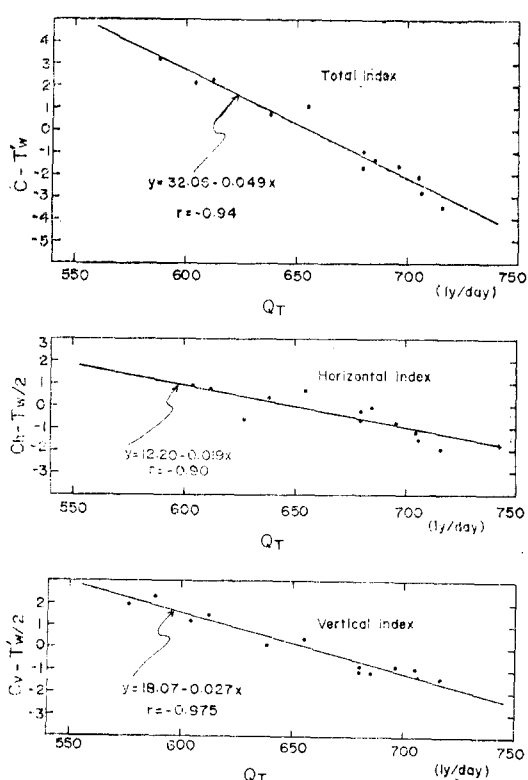


Fig. 10. Relation between the heat budget and the index of cold water of the Yellow Sea in winter.

$T'w$ 를 뺀 값 $C - T'w$ 와 QT 와의 關係를 나타내면 Fig. 10과 같고, 水平指數에서 初期條件을 뺀 값 $C_h - T'w/2$, 垂直指數에서 初期條件을 뺀 값 $C_v - T'w/2$ 와 热收支와의 關係는 Fig. 10과 같다. 이結果, 冷水指數에서 初期條件를 뺀 $C - T'w$ 와 热收支와의 關係는

$$C - T'w = 32.06 - 0.049QT$$

이고, 相關係數는 0.94이다.

또한 水平指數에서 初期條件을 뺀 $C_h - T'w/2$, 垂直指數에서 初期條件을 뺀 $C_v - T'w/2$ 와 热收支 QT 와의 關係는

$$C_h - T'w/2 = 12.20 - 0.019QT$$

$$C_v - T'w/2 = 18.07 - 0.027QT$$

이고, 相關係數는 각각 0.90와 0.97이다.

이結果로 보아 겨울철 黄海에서의 热收支와 여름철 東支那海의 黄海冷水의 势力과는 밀접한 相關關係가 있으며, 겨울철 热收支를 計算하고, 初期條件인 11月 下旬의 黄海의 水溫을 알면 여름철 東支那

海에서의 黄海冷水의 势力を 預測할 수 있을 것이다, 渔場 선정에 많은 도움이 되리라고 생각된다.

要 約

冬季 黄海에서 1961年부터 1974年까지 (1966年除外) 13年間의 热收支를 算出하고 이期間동안 夏季東支那海에서의 黄海冷水 势力과의 關係를 分析한結果를 要約하면 다음과 같다.

(1) 黄海上의 日射量은 冬季中 12月이 가장 낮아 약 160~190 ly/day이고, 1月과 2月로 갈수록 점차增加하여 2月에는 250~260 ly/day로서 12月에 比하여 70~90 ly/day가 커졌다. 冬季 日射量의 年別變化量은 약 50 ly/day以下인 것으로 나타났다.

(2) 海面에서의 長波輻射量이 有効日射量 보다 12月에는 30~70 ly/day, 1月에는 27~46 ly/day정도 크게 나타났으나, 2月에는 反對로 20~30 ly/day정도 작게 나타났다.

(3) 日射量에서 海面反射量과 海面輻射量을 뺀 값은 100 ly/day以下이고, 12月과 1月에는 (-), 2月에는 (+)로 나타나며, 3個月間의 平均은 약 -20 ly/day정도이다.

(4) 顯熱放出量과 蒸發熱量을 합한 값은 1963年 1月이 最高였고 (882 ly/day), 1961年 2月이 最低였다 (471 ly/day).

(5) 冬季 黄海에서 잃어버린 總熱量은 1962年이 平均 588 ly/day로서 最低이며, 1968年에 716 ly/로서 最高였다.

(6) 1971年 8月에 黄海와 東支那海의 表層水는 여리 종류로 分類되나, 20m 以深에서는 水溫이 6.4° ~13.2°C, 鹽分이 33.17‰以上으로서 나간이 低溫의 性質을 띠고 있다.

(7) 平均 水溫分布圖에서 單位面積當 積算水溫을 冷水指數 50m層의 指數를 水平指數, 32°N의 20m 以深層의 指數를 垂直指數라 하면, 1962年的 경우 水平指數가 1.86, 垂直指數가 3.18로서 冷水指數가 5.04였고, 1968年の 경우에는 冷水指數가 -3.21였다.

(8) 冷水指數에서 11月下旬 黄海의 水溫의 標準偏差를 뺀 값 $C - T'w$ 와 冬季熱收支와의 關係는

$$C - T'w = 32.06 - 0.049QT$$

이고, 그 相關係數는 0.94이다.

또 水平指數에서 初期條件를 뺀 값 $C_h - T'w/2$, 垂直指數에서 初期條件를 뺀 값 $C_v - T'w/2$ 와 热收支와의 關係는

韓 英 築 · 張 善 德

$$C_h - T'w/2 = 12.20 - 0.019Q_T$$

$$C_v - T'w/2 = 18.07 - 0.027Q_T$$

이고, 그 相關係數는 각각 0.90 및 0.97이다,

이 結果로서 冬季 黃海에서의 熱收支와 夏季 東支
那海의 黃海 冷水勢力과의 相關係數가 높음이 밝혀
졌으므로, 冬季熱收支를 計算하고, 11月 下旬의 黃
海水溫度 알면 夏季 黃海의 冷水勢力を 豫測할 수
있어 漁場 선정에 많은 도움이 되리라고 생각된다.

謝 意

本論文을 처음으로 끝까지 指導와 鞭撻을 베풀어
주신 李秉筠 教授님께 深甚한 謝意를 드리오며, 資
料 수집에 노고를 아끼지 않으신 氣象研究所 崔熙承,
洪性吉 課長과 空軍 氣象戰隊關係人, 資料 整理를
도와준 李和云, 朴海壽, 孫蓮淑, 金永淑, 柳青魯
君에게 감사의 뜻을 表하는 바입니다.

References

- Asaoka, O. and S. Moriyasu (1966): On the circulation in the East China Sea and the Yellow Sea in winter. Oceanogr. Mag., 18 (1-2), 73-81.
- Budyko, M. I. (1956): The heat balance of the earth's surface. Hydrometeor. Pub. House, Leningrad, 253.
- Fujita, T. and T. Honda (1965): Observational estimation of evaporation and sensible heat transfer from the Japan Sea in winter. Tenki, 12, 204-213 (in Japanese).
- Fukuoka, J. (1960): An analysis on the mechanism of the cold water mass appearance in the Enshunada. Oceanogr. Mag., 11 (2), 127-143.
- Han, Y. H. (1970): On the estimation of evaporation and sensible heat transfer in the south eastern part of the Yellow Sea in the month of January. Jour. Korean Meteor. Soc., 6 (2), 83-87 (in Korean).
- Han, Y. H. (1972): Heat budget over the south western part of the Japan Sea in the month of January and cold water mass in the Kor- ea Strait. Jour. Ocean. Soc. Korea, 7(1), 19-23 (in Korean).
- Han, Y. H. (1977): On the estimates of radiation on horizontal surface during winter in Korea. Bull. Korean Fish. Tech. Soc., 13 (1), 7-10 (in Korean).
- Harami, K. (1974): On the amount of evaporation in Kii Channel in winter. Umi to Sora, 49(4), 115-124 (in Japanese).
- Hill, R. H. (1972): Laboratory measurement of heat transfer and thermal structure near on air-water interface. Jour. Phys. Oceanogr., 2, 190-198.
- Hishida, K. (1969): Summary on problems in the synoptic heat exchange. Umi to Sora, 45 (2), 77-85 (in Japanese).
- Hishida, K. and K. Nishiyama (1972): On the diagram for evaluating the amount of heat exchange at the sea surface. Umi to Sora, 48 (1), 23-38 (in Japanese).
- Jacobs, W. C. (1942): On the energy exchange between sea and atmosphere. Jour. Mar. Res., 5, 37-66.
- Jacobs, W. C. (1951): Large scale aspects of energy transformation over the oceans. Compend. of meteor., Am. Met. Soc., 1057-1070.
- Kaiser, J. A. C. and K. G. Williams (1974): Measurements of the vertical heat Flux in the upper ocean layer. Jour. Phys. Oceanogr 4(2), 137-144.
- Kang, C. J. (1974): A study on the seasonal variation of the water masses in the southern sea of Korea. Bull. Fish Research and Develop. Agency, 12, 107-121 (in Korean).
- Katayama, A. (1967): On the radiation budget of the troposphere over the northern hemisphere (3). Zonal cross section and energy consideration. Jour. Meteor. Soc. Japan, 45, 26-39.
- Koizumi, M. (1964): On the standard deviation of the surface temperature of the East China Sea. Studies on Oceanography, Hidaka Jubilee Committee, Tokyo, 140-144.

冬季의 热收支와 黄海冷水와의 關係

- Kondo, J. (1964): Evaporation from the Japan Sea in winter monsoon season. *Sci. Rep. Tohoku Univ. Ser. 5 Geophys.*, 15, 67—75.
- Kondo, J. (1972): Applicability of micrometeorological transfer coefficient to estimate the long period means of fluxes in the air-sea interface, *Jour. Meteor. Soc. Japan*, 50(6), 570—576.
- Laevastu, T. (1960): Factors affecting the temperature of the surface layer of the sea. *Centraltryckeriet*, Helsinki, 9—66.
- Lee, D. Y. and S. D. Chang (1976): Sea-air energy exchange in the eastern Yellow Sea. *Bull. Korean Fish. Tech. Soc.*, 12(2), 37—42.
- Ling, S. C. and T. T. W. Kao (1976): Parameterization of the moisture and heat transfer process over the ocean under Whitecap Sea states. *Jour. Phys. Oceanogr.*, 6, 306—315.
- Manabe, S. (1957): On the modification of air mass over the Japan Sea when the out burst of cold water predominates. *Jour. Met. Soc. Japan Ser. 2*, 35(6), 311—326.
- Manabe, S. (1958): On the estimation of energy exchange between Japan Sea and the atmosphere during winter based upon the energy budget of both the atmosphere and sea. *Jour. Met. Soc. Japan, Ser. 2*, 36(4), 123—134.
- Masuzawa, J. (1951): The heat exchange between sea and atmosphere in the southern sea of Japan. *Jour. Oceanogr. Soc. Japan*, 7(3—4).
- Matsumoto, S. and K. Ninomiya (1966): Some aspect of the cloud formation and its relation to the heat and moisture supply from the Japan Sea surface under a weak winter monsoon situation. *Jour. Meteor. Soc. Japan*, 44, 60—75.
- Matsumoto, S. (1967): Budget analysis on the sea effect snow observed along the Japan Sea coastal area. *Jour. Meteor. Soc. Japan*, 45, 53—63.
- McEwen, G. F. (1937): Some energy relations between the sea surface and the atmosphere. *Jour. Mar. Res.*, 1(3), 217—238.
- Min, K. D. (1974): Heat and water budget over the Yellow Sea in winter season and their influence on the Siberian cold airmass. *Jour. Korean Meteor. Soc.*, 10(1), 1—10.
- Moriyasu, S. (1957): An attempt to forecast oceanographic conditions south of Honshu. *Oceanogr. Mag.*, 9(1), 12—17.
- Moriyasu, S. (1958): On the fluctuation of the Kuroshio south of Honshu (2). *Mem. Kobe Mar. Obs.*, 12(2), 1—6.
- Moriyasu, S. (1959): Supplementary note on the dynamical property of the cold warter region. *Oceanogr. Mag.*, 11(1), 13—19.
- Moriyasu, S. (1967): On the anomaly of the sea surface temperature in the East China Sea (1). *Oceanogr. Mag.*, 19(2), 201—220.
- Moriyasu, S. (1968): On the anomaly of the sea surface temperature in the East China Sea (2). *Oceanogr. Mag.*, 20(2), 121—132.
- Ninomiya, K. (1964): Water-substance budget over the Japan Sea and the Japan Islands during the period of heavy snow storm. *Jour. Meteor. Soc. Japan*, 40, 317—329.
- Ninomiya, K. (1968): Heat and water budget over the Japan Sea and the Japan Islands in winter season. *Jour. Meteor. Soc. Japan*, 46, 343—372.
- Ninomiya, K. (1972): Heat and water budget over the East China Sea in the winter season. *Jour. Meteor. Soc. Japan*, 50, 1—17.
- Otsuka, K. (1964): On the unusual low temperature in the East China Sea in winter of 1963 discussed from the heat balance. *Jour. Meteor. Res.*, 16(6), 326—333.
- Paulson, C. A., Leavitt and R.G. Fleagle (1972): Air-sea transfer of momentum, heat and water determined from profile measurements during OMEX. *Jour. Phys. Oceanogr.*, 2, 487—497.
- Sawara, T. (1974): On the sea surface temperature in the East China Sea for the years 1953—1972. *Oceanogr. Mag.*, 26(2), 17—36.

韓 英 鑄 · 張 善 德

- Schell, I. I. (1972): Large-scale sea ice, sea surface temperature anomalies in the north-western North Pacific and their significance for foreshadowing the weather in northern Japan and for eastern USSR. *Jour. Meteor. Soc. Japan*, 50(6), 542—557.
- Stegen, G. R. (1973): Measurements of momentum and sensible heat fluxes over the open ocean. *Jour. Phys. Oceanogr.*, 3, 86—101.
- Sverdrup, H. U. (1937) : On the evaporation from the ocean. *Jour. Mar. Res.*, 1, 3—14.
- Sverdrup, H. U. (1940) : On the annual and diurnal variation of the evaporation from the oceans. *Jour. Mar. Res.*, 3, 93—104.
- Sverdrup H. U. (1951): Evaporation from the oceans. *Compend. of Meteor.*, Am. Met. Soc., 1071—1081.
- Uda, M. (1949): On the correlated fluctuations of the Kuroshio current and the cold water mass. *Oceanogr. Mag.*, 1, 1—12.
- Watanabe, N. (1955): Hydrographic conditions of the north-western Pacific. *Jour. Oceanogr. Soc. Japan*, 11(3), 111—121.
- Wyrtki, K. (1966): Seasonal variation of heat exchange and surface temperature in the North Pacific ocean. Hawaii Institute of Geophys., 1—8.